

SBORNÍK

NÁRODNÍHO MUZEA V PRAZE

ACTA

MUSEI NATIONALIS PRAGAE

1962

VÝSKUMY NÁRODNÍHO MUZEA V PRAZE

RADA B - PŘÍRODNÍ VĚDY SVAZEK NATURELIS. 4

SBORNÍK NÁRODNÍHO MUZEA V PRAZE
ACTA MUSEI NATIONALIS PRAGAE
Volumen XVIII. B (1962) No. 4
REDAKTOR JIŘÍ KOUŘIMSKÝ

IVAN VAVŘÍN

**Pegmatity magdalenského skarnového ložiska u Vlastějovic
nad Sázavou**

**Пегматиты магдаленского скарнового месторождения
Властеёвице над Сазавой.**

**Pegmatites of the Magdalena magnetite deposit
at Vlastějovice n/Sáz. (E. Bohemia).**

V práci jsou popsány nerosty pegmatitů magdalenského ložiska ve *Vlastějovicích*. Vedle makroskopických a mikroskopických popisů jsou uvedeny jejich kvalitativní spektrální analýsy. Fluorit z pegmatitu se liší termoluminiscencí a UV luminiscencí od fluoritů hydrotermálních. Orientační kvantitativní chemické analýsy amfibolu z pegmatitu a z žilky ve skarnu poukazují na jejich podobný chemismus. Pegmatity jsou charakteristické přítomností hojného fluoritu, ortitu a minerálů vzniklých vzájemnou reakcí skarnu a pegmatitu a resorpčními pochody (zvl. význačný je amfibol a biotit). Pegmatity se studovanou asociací jsou prostorově vázány na skarnové těleso, pegmatity v sousedních rulách mají odchylnou asociaci nerostů a pravděpodobně i genesi.

Skarnové ložisko u Vlastějovic upoutávalo pozornost četných badatelů; ze starších se jím zabývali F. Katzer (1904) a F. Sellner (1926). V poslední době studovali ložisko J. Koutecký (1951, 1959), J. Koutecký a L. Žák (1953).

Území v okolí *Vlastějovic* je budováno pararulami a v menší míře ortorulou. Katazonálně metamorfované pararuly obsahují vložky amfibolitů, kvarcitů, pyroxenické ruly, krystalického vápence a ojediněle i eklogitu. Ortoruly tvoří synklinální těleso na vrchu *Fiolníku* sv. od *Vlastějovic*. V jádře ortorulové synklinály je pět skarnových těles. Dvě větší s ekonomicky významným zrudněním tvoří jednak vlastní vrchol *Fiolníku* — magdalenské ložisko, pojmenované podle hornického kostelíka sv. Máří Magdaleny, jednak *Holý vrch* (asi 0,5 km jz. od *Fiolníku*) — ložisko Holého vrchu. Dále v sv. pokračování hřbetu *Fiolníku* jsou dvě drobná skarnová tělesa u tzv. Jezevčína a nejvzdálenější výskyt je u místa zv. *Štůlky*. Podrobné popisy jsou uvedeny ve výše citovaných pracích J. Koutecké.

Magdalenské skarnové těleso, protažené sv. — jz. směrem je v podstatě tektonicky deformovaná, k sz. ukloněná skarnová synklinála obklopená rulami, event. migmatity (J. Koutecký, 1959). Délka činí na povrchu 400 m, šířka maximálně 200 m. Ložisko bylo otevřeno jednak hloubením těsně pod vrcholem *Fiolníku* a v poslední době štolou od *Vlastějovic* na úrovni 10. patra ložiska Holého vrchu. Důlním mapováním a podzemními vrty byly zjištěny další podrobnosti. Úklon skarnového tělesa činí 50 — 70° k sz., na spodku je mírnější. Spodní část skarnového tělesa je silně zvlněná,

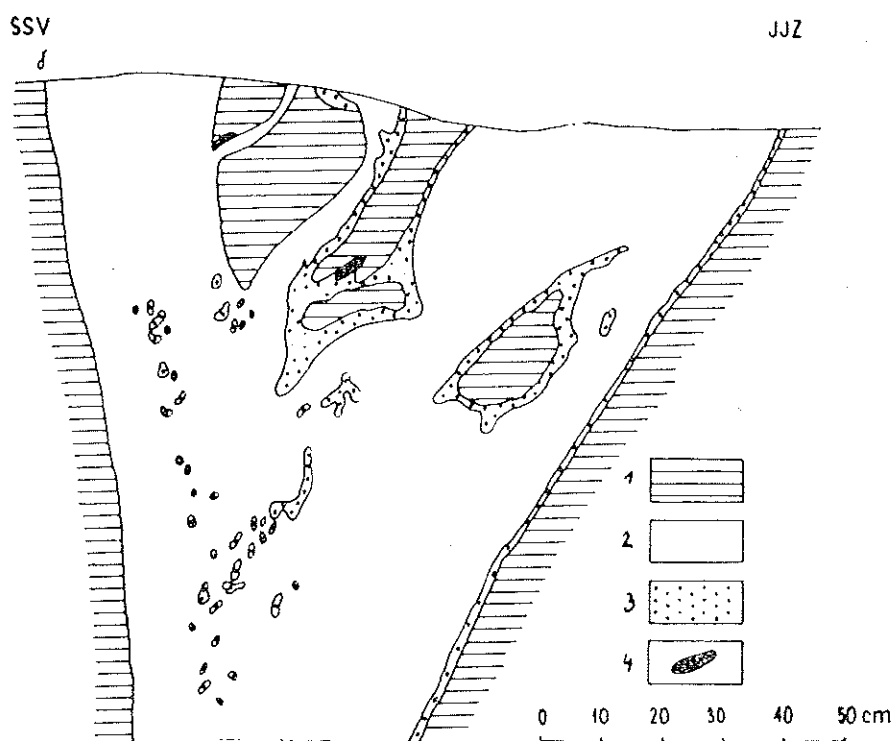
generelně má mírný sklon k sz. Skarnové těleso je tektonicky postiženo, nejvýraznější dislokace ssz. – jjv. směru probíhá v jihozápadní části tělesa. Jz. část zůstala relativně v klidu, sv. část se proti ní posunula a hlouběji ponořila k sz. Paralelní dislokace prochází sv. částí tělesa.

Pegmatitové žily magdalenského ložiska

Pegmatitové žily jsou na magdalenském skarnovém ložisku méně hojně než na ložisku Holého vrchu, popsané J. Koutkem (J. Koutek, 1950, 1959). Na rozdíl od ložiska Holého vrchu není zde vyvinuta charakteristická pegmatitová poloha na hranici skarnu a ortoruly.

Podle práce J. Koutka (1959) je mineralogické složení pegmatitů na *Holém vrchu* toto:

plagioklas (oligoklas až albit – oligoklas), ortoklas, křemen, biotit, amfibol, fluorit (temně fialový). Akcesorie: skoryl, apatit, ortit, pyrit, magnetit.



Obr. 1

Pegmatity magdalenského ložiska tvoří nepravidelné žily a protáhlé čočky, většinou strmě ukloněné, méně hojná jsou silně nepravidelná tělesa. Mocnost žil silně kolísá, průměrně činí 30 cm, max. 3 m. Pegmatity jsou silně kontaminované, na styku pegmatitových žil se skarem a kolem uzavřených ker jsou reakční lemy. Jsou tvořeny převážně amfibolem, v menší míře biotitem nebo oběma nerosty zároveň. Vzácně je přítomen ortit a titanit. Mocnost reakčních lemů, nezávislá na mocnosti pegmatitů kolísá od několika mm do 40 cm, nejčastěji činí 4–6 cm. Omezení je

ostřejší vůči skarnu, do pegmatitu přecházejí lemy plynule. Pegmatitové žily pronikající a uzavírající magnetovec mají reakční lemy stejných rozměrů a stejného složení jako při průniku se skarnem, obsahují však často navíc rekrytalovaný magnetovec. Celkem bylo kartograficky zachyceno 70 pegmatitových žil na 10. patře magdalenského ložiska (stav na podzim 1959).

Typy pegmatitových žil podle charakteristických nerostných složek:

A. Nejběžnější jsou plagioklasové pegmatity (oligoklas) s malým množstvím draselného živce (mikroklin i ortoklas), křemene a s kolísavým množstvím fluoritu. Ojedinělé jsou pegmatity pouze s draselnými živci, které přecházejí do běžných plagioklasových pegmatitů. Na styku se skarem jsou vyvinuty zpravidla amfibolové reakční lemy.

B. Pegmatit s metasomatickým albitem. Charakteristická žila (19. překop, mocnost max. 2,5 m) s mikroklinem, hojnějším křemenem a fluoritem obsahuje velké idiomorfní krystaly biotitu a allotriomorfní turmalin. Albít tvoří nepravidelné žilky a shluky v mikroklinu. Na styku se skarem jsou vyvinuty obvyklé reakční amfibolové lemy.

C. Pegmatity, které obsahují mimo součástek uvedených v typu A kalcit, granát, epidot a albit 3. generace. Nepravidelné shluky kalcitu na styku se skarem obsahují idiomorfní amfiboly. Na styku se skarem jsou vyvinuty amfibolové reakční lemy. Celkem byly zjištěny 3 žily tohoto typu, max. mocnosti 20 cm.

Minerály pegmatitu

PLAGIOKLAS

Vyskytuje se téměř na všech žilách. Je většinou bílé barvy, jedinci dosahují až 12 cm v průměru. Často již makroskopicky lze rozlišit polysyntetické dvojčatné lamely, vzácně bylo pozorováno prorůstání plagioklasu a křemene, rázu myrmekitu. Ve výbruse je plagioklas allotriomorfní, jen vzácně hypidiomorfní. Zrna jsou často zdvojčatěna podle albitového a periklinového zákona. Podle měření úhlu zhášení lamel v symetrické zóně a podle měření indexů lomu vzhledem k imersním olejům basicita kolisá od kyselého oligoklasu až k oligoklas-andesinu, převládá oligoklas. Plagioklas je často silně přeměněn na jílové minerály a částečně i sericitisován. Přeměna někdy nápadně sleduje jeden systém dvojčatných lamel více než druhý.

K-ŽIVCE

Zpravidla v malém množství jsou přítomny téměř na všech žilách. Většinou jsou světle narůžovělé, nahnědlé až růžové barvy, jedinci dosahují max. 10 cm v průměru. Ve výbrusech byl zjištěn mikroklin, většinou s charakteristickým mřížkovým zdvojčatěním a ortoklas. Oba živce nelze makroskopicky rozlišit. Omezení je allotriomorfní, živce jsou dosti silně zakaleny jílovými minerály. U některých mikroklinů tato proměna zdůrazňuje charakteristické mřížkování. Ojediněle byl zjištěn pertitický mikroklin s jednotně orientovanými odmíšeninami albitu.

KŘEMEN

Byly zjištěny dvě generace křemene. Křemen I je světle šedé, výjimečně bílé barvy. Tvoří středně až jemně zrnité agregáty allotriomorfně omezených zrn. Hranice zrn jsou pravidelně rovné (velikost zrn v průměru 2 mm, výjimečně až 10 mm). Pod mikroskopem je allotriomorfní, slabě undulosně zháší. Obsahuje velmi drobné kapalné uzavřeniny, vzácně s plynovou libelou. Křemen II proniká v jemných žilkách živcem i fluoritem.

Krystalograficky omezený (krátce sloupcovitý zakončený kombinací klenců) byl zjištěn v dutině po vylouženém fluoritu. Ve výbruse tvoří agregáty allotriomorfň omezených zrn.

FLUORIT

Je typický pro vlastějovické pegmatity a vyskytuje se téměř na všech žilách. Zbarvení kořísá od čiré přes světle nafialovělou barvu až k černofialové. Nejhojnější jsou temně fialové fluority, které často obsahují makroskopicky rozlišitelný ortit. Fluorit bývá nepravidelně rozptýlen, někdy se však koncentruje do lemu na okraji žil, masy fluoritu mají max. 5 cm v průměru. Mikroskopicky byly zjištěny ve výbruse vytváří intensivně zbarvené temně fialové pleochroické dvůrky. Vlastějovický fluorit jeví silnou termoluminiscenci, bez ohledu na zbarvení silně modrozeleně svítí na 200–300 °C. Dalším zahříváním světélkování slabne, dostává temně fialový odstín a postupně vyhasne. Podle barvy a intenzity termoluminiscence a luminiscence v dlouhovlnném ultrafialovém záření lze rozlišit fluorit a pegmatitu od mladšího hydrotermálního fluoritu z epigenetických kalcitových žil ve skarnu.

fluorit	termoluminiscence	UV luminiscence
XIX. překop pegmatit	intensivně modrozeleně	slabě zeleně
kalcitová žila <i>Holý vrch</i>	slabě fialově	modrofialově

Silnější termoluminiscenci pegmatitového fluoritu z Vlastějovic možno přičítat obsahu Y a Yb (K. Pržibrám, 1953), obsahu manganu (H. Haberlandt, 1937) a dlouhodobému vlivu radioaktivního záření (obsah Th v ortitech).

AMFIBOL

Tvoří nejhojnější součást reakčních lemu pegmatitových žil a je téměř vždy přítomen. Černozelené, hypidiomorfni až idiomorfni krátce sloupečkovité krystaly dosahují rozměrů až 3,2 cm. Byl též nalezen dlouze sloupečkovitý až stébelnatý amfibol, zarostlý v křemeni. Některé amfiboly uzavírají, zejména při okrajích zrn, křemen a živec, celkem ojediněle drobné idiomorfni krystalky titanitu (prům. do 2 mm). Amfiboly též uzavírají drobné krystalky ortitu, kolem kterých jsou v mikroskopu patrné pleochroické dvůrky. Pod mikroskopem jeví převážně hypidiomorfni amfiboly z pegmatitu silný pleochroismus:

Podle X světle hnědavě žlutý

podle Y olivově zelený

podle Z temně modrozelený

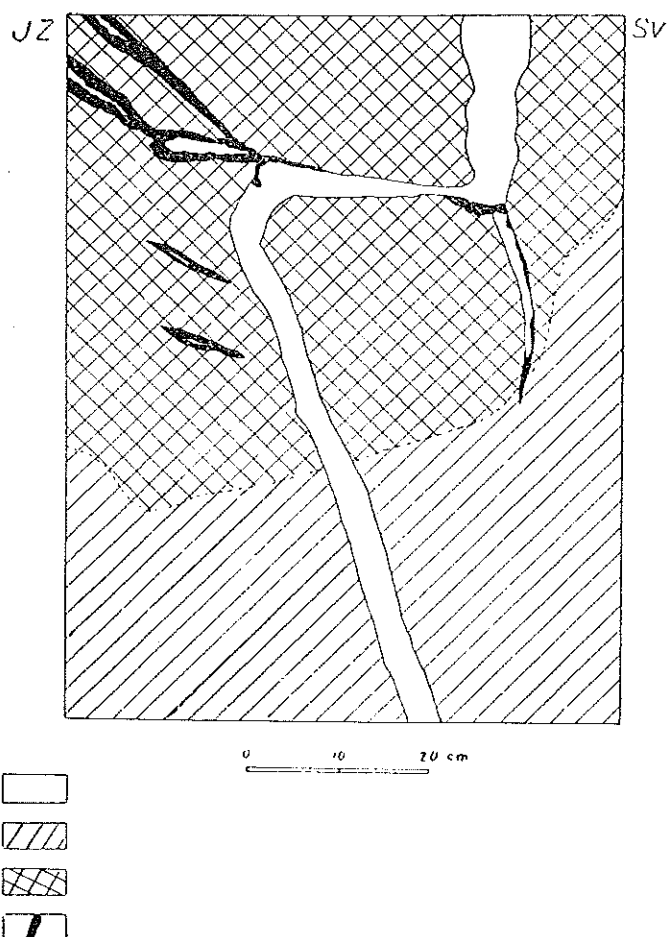
Maximální úhel zhášení Z/c činí 270. Obsahují uzavřeniny křemene a živce; křemen proniká do amfibolu po štěpných trhlinkách a bývá provázen chloritem.

Byly provedeny orientační kvantitativní chemické analýsy amfibolu ze skaru a amfibolu z pegmatitu. Analysovaný amfibol z pegmatitu tvoří téměř idiomorfni sloupečkovité krystalky zarostlé v oligoklasu, makroskopicky bez uzavřenin. Amfibol ze skaru tvoří nepravidelnou žilku v celistvém granátovci červenohnědě barvy; optické vlastnosti a pleochroismus má stejně jako amfibol z pegmatitu (mikroskopické amfiboly ze skaru mají poněkud odlišný pleochroismus – podle Z tmavě zelený bez modravého odstínu).

Chemické analýsy byly provedeny na katedře mineralogie, geochemie a krystalografie přírodovědecké fakulty KU běžnými metodami silikátové analýsy, stanovení alkalií bylo provedeno na plamenném fotometru v laboratoři ÚÚG.

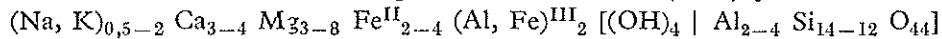
KVANTITATIVNÍ ANALYSY AMFIBOLŮ

	<i>Lišná u Jimramova</i> (M. Novotný, 1949) %	<i>Vlastějovice</i> pegmatit %	<i>Vlastějovice</i> skarn %
SiO ₂	39,37	37,5	36,4
Al ₂ O ₃	15,22	19,6	14,5
Fe ₂ O ₃	4,02	10,6	7,5
CaO	10,46	20,1	11,4
FeO	20,81	4,7	21,6
MgO	4,30	0,5	1,9
MnO	0,16	1,3	stopy
TiO ₂	0,74	1,5	0,5
K ₂ O	2,05	1,9	1,8
Na ₂ O	1,54	nest.	1,5
H ₂ O	1,33	nest.	nest.
F	nest.	nest.	nest.
	100,00 %	97,8 %	97,2 %



Obr. 2

Analysy obou amfibolů z *Vlastějovic* se v hrubých rysech shodují, až na zajímavý vyšší obsah Fe a Ca a nižší obsah Mg v amfibolu ze skarnu oproti amfibolu z pegmatitu. Zvýšení obsahu Fe a Ca lze vysvětlit topominerálním vlivem skarnu. Moje výsledky se značně bliží analyse amfibolu M. Novotného (1949) z *Lišné u Jimramova*, který pochází z proniku pegmatitu skarem. U amfibolu silně kolísá chemismus v důsledku zastupování iontů. Vzorec obecného amfibolu podle H. Strunze (1957) je:



Isomorfní zastupování Ca, Mg/Na, Al nastává hlavně u typů bohatších alkaliemi. Část Si bývá nahrazena Al za současného vstupu alkalií do mřížky (M. Novotný, 1949). Toto pravidlo platí i pro vlastějovické amfiboly.

BIOTIT

Tvoří méně hojnou součást reakčních lemů pegmatitových žil. Černé tabulky s bronzovým odstínem dosahují až 1 cm v průměru. V neobvyklém vývoji byl zjištěn biotit v mikroklínovém pegmatitu na překopu č. 19, kde tvoří idiomorfne omezené tlusté tabulkovité až krátce sloupečkovité krystaly, dosahující až 1 cm v průměru. Ve výbruse byly pozorovány allotriomorfne omezené tabulky temně hnědě až hnědošedé barvy. Na přičných řezech rovnoběžných s osou c má biotit výrazný pleochroismus:

podle X světle hnědavě žlutá

podle Y, Z temně šedohnědá

Vzácně byl zjištěn slabý rozklad biotitu (sezelenání).

PYROXEN

Vyskytuje se méně často; je černozelené barvy, většinou allotriomorfne omezený, oproti amfibolu má méně dokonalou štěpnost. Pod mikroskopem je pyroxen světle nazelenalý s nezřetelným pleochroismem, který se projevuje slabou změnou odstínu světle zelené barvy. Podle asociace, max. úhlu zhášení $Z/c = 46^\circ$ a pleochroismu náleží do diopsid-hedenbergitové řady — blízký hedenbergitu. Pyroxen proniká po štěpnosti do amfibolu, ojediněle byla zjištěna uralitisace pyroxenu. Podle mikroskopického popisu se shoduje s pyroxenem ve skarnu, který popsalo J. Koutecký (1950).

ALBIT

Byly rozlišeny tři generace albitu. Metasomatický albit clevelanditového typu, byl zjištěn na žile na 19. překopu, kde tvoří nepravidelné shluky a drobné žilky až sítivo světle modrozelené barvy převážně v mikroklínu. Již makroskopicky lze zjistit výrazné zatlačování mikroklínu albitem. Ve výbruse byla zjištěna dvojí a. bitisace:

Albit I tvoří v mikroklínu nepravidelné shluky a proužky, často celou plochu výbrusu s relikty mikroklínu, složenou z rovnoběžných orientovaných lišt jednotně zhášejících, které se od sebe liší výškou interferenční barvy — tzv. šachovnicový albit (foto č. 4). Tento albit nelze makroskopicky rozlišit od mikroklínu.

Albit II je tvoren hypidiomorfne až idiomorfne omezenými dlouze lišťovitými kryštalky (délka max. 2 mm) s výrazným dvojčatým lamelováním (foto č. 8). Max. úhel zhášení dvojčatých lamel v symetrické zóně byl zjištěn 17° , n nižší než kanadský balzám.

Albit III je makroskopicky světle hnědorůžové barvy. Byl nalezen na složitých žilách s kalcitem (typ C), kde tvoří allotriomorfne shluky nejčastěji přímo na styku s kalcitem. Uzavírá idiomorfne granáty a epidoty, do kterých proniká po trhlinkách. Ve výbruse je allotriomorfne omezen s výrazným dvojčatým lamelováním. Max. úhel zhášení albitových lamel v symetrické zóně byl zde zjištěn 16° , n nižší než kanadský balzám.

TURMALIN

Je vzácný, byl nalezen pouze na dvou žilách. Tvoří nepravidelné sítivo a allotriomorfne shluky (průměr max. 2 cm) černé barvy a spolu s křemenem vyplňuje mezery mezi idiomorfni kryštaly oligoklasu. Pod mikroskopem je allotriomorfne turmalin silně rozpukaný, na některých zrnech lze zjistit příčnou odtačnost. Turmalin má silný pleochroismus:

podle E světle hnědý

podle O černohnědý

Turmalin bývá často chloritisován podél puklin, v některých případech chloritisace proběhla téměř úplně.

TITANIT

Je poměrně vzácný a vyskytuje se téměř vždy spolu s amfibolem. Žlutohnědě až temně hnědé idiomorfni krystalky dosahují délky 15 mm. Ve výbruse je titanit většinou idiomorfni, bezbarvý až světle hnědý. Tmavěji zbarvené titanity mají slabý pleochroismus:

podle Y světle žlutý
podle Z světle hnědý

(pleochroismus byl zjištěn na příčných řezech idiomorfni titanity).

ORTIT

Je hojnou součástí vlastějovických pegmatitů. Většinou idiomorfni omezené sloupečkovité krystalky (max. délka 10 mm) temně hnědě až černé barvy mají smočný lesk. Kolem ortitů, uzavřených ve fluoritu, jsou již makroskopicky patrné pleochroické dvůrky. Ortit se hromadí v reakčních amfibolových lemech. Ve výbruse je světle hnědě až žlutohnědě barvy s hojnými šedohnědými skvrnami, vzhledem má zonální stavbu. Při zkřížených nikolech je isotropní, jen výjimečně jeví část krystalků slabou anisotropii. Optická isotropie svědčí o tom, že ortity podlehly metamiktnej přeměně, při níž nastalo zvětšení objemu a živce, obklípující ortity, paprscitě rozpukaly. Kolem krystalů ortitů, uzavřených ve fluoritu, jsou výrazně temně fialové pleochroické dvůrky (foto 1, 2, 3), méně výrazně jsou pleochroické dvůrky kolem krystalků zarostlých v amfibolu. V poslední době vlastějovické ortity podrobně mineralogicky studovali V. Bouška, F. Čech a Z. Jovan (1960).

APATIT

Makroskopicky patrný dlouze sloupečkovitý apatit zelenošedé barvy (rozměry 3×0.5 mm) byl nalezen ojediněle a byl zarostlý ve fluoritu a plagioklasu. Mikroskopický apatit převážně hypidiomorfni omezený, krátce sloupečkovitý, bývá nejvíce zarostlý ve fluoritu, méně v živci a biotitu (foto č. 2, 3).

GRANÁT

V pegmatitu se vyskytují útržky skarnového granátu blízkého andraditu, na složitých žilách typu C byly pozorovány útržky červenohnědého andraditu, lemované světle hnědým granátem. V křemeni na těchto žilách byly nalezeny světle hnědě idiomorfni granáty ($\{110\}$). Ve výbruse je tento granát nahnědý až světle narůžovělý, při zkřížených nikolech má světle šedé interferenční barvy, je výrazně políčkovaný (jednotlivá polička se liší výškou interferenční barvy) a opticky dvojosý — malý úhel os optických. Jde o granát blízký grosuiaru, byl identifikován rentgenometricky a spektrální analysou.

EPIDOT

Vyskytuje se vzácně a téměř vždy na pegmatitových žilách s kalcitem. Tvoří jednak špinavě zelené hypidiomorfni krystaly a hrubozrnné agregáty zarostlé v plagioklasu (průměr zrn až 4 cm), jednak temně zelené dlouze sloupečkovité krystalky (10×2 mm), zarostlé v křemeni. Ve výbruse je světle žlutozelený epidot většinou hypidiomorfni až allotriomorfni omezen. Jeví slabý pleochroismus:

podle X bezbarvý
podle Y žlutavě nazelenalý
podle Z světle žlutozelený

(pleochroismus zjištěn na řezech podle [100] a [010]).

REKRYSTALOVANÝ MAGNETOVEC

Byl nalezen jako součást reakčních lemu kolem ker magnetovce uzavřených v pegmatitech, kde se vyskytuje spolu s amfibolem, biotitem a titanitem. Oktaedry magnetitu o hraně až 8 mm mají často kostrovitý vývoj (na oktaedrických plochách stupňovitě na-

sedají stále menší trojúhelníkovité destičky, omezené rovnoběžně s hranami oktaedru). Kolem krystalů magnetitu, uzavíraných v amfibolu, jsou vždy světlé obruby tvořené křemenem II.

PYRIT A CHLORIT

Jsou v pegmatitu méně běžné. Pyrit tvoří allotriomorfní shluky (průměr max. 2 cm), výjimečně idiomorfní krychlové krystalky; pyrit s chloritem proniká v drobných žilkách pegmatitem. Chlorit tvoří šupinkovité agregáty, které jeví ve výbruse na příčných řezech slabý pleochroismus (světle žlutavě nazelenalý X světle zelený), při zkřížených nikolech má temně modrošedé interferenční barvy.

KALCIT

Vyskytuje se ve dvojí formě:

1. bělošedý středně až hrubě zrnitý kalcit (průměr zrn 1 cm) tvoří nepravidelné polohy v pegmatitech typu C bud' přímo v pegmatitu, nebo na jeho styku se skarnem. Tento kalcit náleží k hydrotermální fázi vývoje pegmatitu a je starší než druhý typ. Bývají v něm uzavřeny téměř idiomorfní krátce sloupečkovité amfiboly (max. $1,5 \times 1$ cm).
2. Epigenetické kalcitové výplně puklin a dislokací, pronikající skarnem i pegmatitem, vždy ostře omezené. Pronikají i pegmatity typu C.

Kvalitativní spektrografické analýsy

Chemismus nerostů v pegmatitech byl studován kvalitativními spektrálními analysami, kterých bylo provedeno 20. Nerosty byly pečlivě vyseparovány pod binokulární lupou a podle možností zbaveny heterogenních příměsí.

Analýsy byly provedeny v Ústavu nerostných surovin v Kutné Hoře a vyhodnoceny autorem. Podmínky analýs: Spektrograf Zeiss Q 24, nepřerušovaný oblouk střídavého proudu, $I = 8$ A, exposice 30 sec. Spektrálně čisté uhlíkové elektrody.

Analýsované nerosty:

1. fluorit vrt č. 38; 12,6 m. Temně fialový fluorit tvoří výplň mezi zrny oligoklasu.
2. fluorit — pegmatitová žila č. 12. Temně fialový fluorit se zarostlými drobnými ortity.
3. fluorit — pegmatitová žila ve 22. překopu. Světle růžově fialový fluorit tvoří nepravidelné shluky v oligoklasu.
4. fluorit — halda. Čirý fluorit vyplňuje mezery mezi idiomorfními krystaly oligoklasu.
5. oligoklas — halda. Bílý hrubě zrnitý oligoklas.
6. oligoklas — halda. Bílý hrubě zrnitý oligoklas prorostlý draselinným živcem.
7. ortoklas — halda. Hnědorůžový ortoklas se prorůstá s oligoklasem.
8. albit II — žila v 19. překopu, levý bok světle modrozelené shluky a žilky albitu v mikroklinu.
9. albit I — žila v 19. překopu, levý bok — hrubozrnný světle hnědý albit.
10. biotit — halda. Černé tabuinky zarostlé v oligoklasu.
11. biotit — pegmatitová žila v 19. překopu, levý bok. Velké idiomorfní krystaly zarostlé v mikroklinu.
12. amfibol — halda. Temně černozelený amfibol z reakčního lemu pegmatitu.
13. amfibol — halda. Dlouze sloupcovitý, uzavřený v granátovci.
14. amfibol — pegmatitová žila ve 22. překopu — amfibol z reakčního lemu žily se skarnem.
15. titanit — halda. Temně hnědý idiomorfní titanit zarostlý v oligoklasu a v amfibolu.
16. jemnozrnný magnetovec — halda. Magnetitová kra uzavřená v pegmatitu.
17. rekrystalovaný magnetovec — halda. Idiomorfní oktaedr zarostlý v oligoklasu.
18. epidot — pegmatitová žila v 31. překopu. Hrubozrnný temně zelený epidot.
19. turmalin — pegmatitová žila v 19. překopu, levý bok. Černý allotriomorfní turmalin zarostlý v mikroklinu.
20. oligoklas — IV. překop. Špinavě šedozelený oligoklas s nehojným křemenem I.

Tabulka kvalitativních spektrografických analýs

	Zn																				
1	•	•					•	•	•	•	•	•	•	•	•	•	•	•	•	•	
2			•	•																	
3		•	•	•	•																
4							•														
5								•													
6									•												
7									•												
8									•												
9									•												
10									•												
11									?												
12									•												
13									?												
14									•												
15										•											
16										+											
17										○											
18										+											
19										○											
20										+											



VÝSVĚTLIVKY K TABULCE:

Podle počtu a intenzity analytických čar byly prvky rozděleny do čtyř skupin.

- + prvek přítomen v podstatném množství
- o prvek přítomen v podřadném až nepatrném množství
- : prvek přítomen v nepatrném až stopovém množství
- ? přítomnost prvku je problematická

Sukcese nerostů, vyskytujících se na pegmatitových žilách

Vzájemné vztahy nerostů byly řešeny makroskopicky, ve výbrusech a částečně i v nábrusech. Podle vzájemných vztahů nerostů byla sestavena pravděpodobná sukcese s výjimkou granátu, epidotu, albitu III, křemene II, kalcitu a pyritu. Zařazení těchto nerostů nemohlo být provedeno pro nedostatek styků s ostatními pegmatitovými nerosty; v sukcesi stojí pravděpodobně po nerosteckých uvedených níže a jejich vznik je úzce spjat s hydrotermální fází vývoje pegmatitu. Působení hydrotermální fáze se již pravděpodobně projevuje při vzniku některých nerostů, uvedených v sukcesi. K upřesnění sukcese bude nutno studovat další materiál.

Pravděpodobná sukcese: titanit — oligoklas — biotit — amfibol — K živec — albít I — turmalin — křemen I — albít II — pyroxen — magnetit (rekryst.) — fluorit — apatit, ortit.

Některé vztahy nerostů (mikroskopicky)

Oligoklas proniká drobnými laločnatými výběžky do téměř idiomorfních krystalků titanitu. Idiomorfni titanit bývá uzavřen v amfibolu, který do něho místy proniká drobnými rovnými výběžky, jinak je hranice rovná. Křemen I proniká po štěpnosti do titanitu. Oligoklas se jeví jedním z nejstarších minerálů. Ostatní minerály, hlavně fluorit a turmalin vyplňují mezery mezi hypidiomorfními krystaly oligoklasu. Bylo zjištěno pronikání amfibolu po štěpnosti do biotitu. Do amfibolu proniká po trhlinkách štěpnosti křemen I, draselný živec a ojediněle pyroxen. K - živec (mikroklin) je metasomaticky zatlačován albitem I a albitem II. Fluorit proniká do K - živce podél hranice zrn. Albít I je metasomaticky zatlačován albitem II. Do turmalinu proniká křemen I v podobě rozvětvených úzce laločnatých výběžků a hranice s křemem je silně zvlněná. Křemen I je starší než rekrystalovaný magnetovec, který z téměř idiomorfních krystalů (metakrysty) vytváří úzké laločnaté výběžky do křemene. Vzájemný poměr fluoritu, ortitu a apatitu je nejasný. Pravděpodobně se jedná o metakrysty ortitu a apatitu ve fluoritu.

Vlastějovické pegmatity se poněkud liší od pegmatitů z blízkého skarnového výskytu u Malešova nedaleko K. Hory. Obě lokality jsou si dosti podobné, ale pegmatity v malešovském skaru jsou nápadně odlišné přítomností velkých krystalů epidotu, většího množství albitu a hlavně minerály druzových dutin (albit — omylem uveden jako ortoklas; I. V a vřín, 1959), epidot, křemen, chlorit, kalcit, axinit, apatit, prehnit, sfén a zirkon), které popsal J. V tělenský (1958) a I. V a vřín (1959). Pegmatitům z této lokality bude věnována pozornost na jiném místě.

Sukcese a mineralogické poměry na pegmatitové žile Krivoje ozero (v sev. Karelii v SSSR) v biotitických a amfibolických rulách (V. J. Lebeděv,

1959) jsou do jisté míry podobné poměrům ve studovaných pegmatitech ve *Vlastějovicích*.

Diskuse vzniku vlastějovických pegmatitů

Studované pegmatity magdalenského ložiska ve *Vlastějovicích* jsou po mineralogické stránce charakterisovány poměrně hojným výskytem fluoritu a ortitu a přítomností nerostů, které vznikly vzájemnou reakcí pegmatitu a skarnu a resorpcí nerostů skarnu pegmatitem. Jsou to zvláště amfibol, pyroxen, biotit, magnetovec. U řady jiných nerostů se pravděpodobně v jejich složení projevuje topominerální vliv skarnu (např. titanit, oligoklas). Reakční lemy a látková výměna mezi skarem a pegmatitem byly popsány z ložiska Holého vrchu již J. Koutekem (J. Koutek 1950, 1959). Podobné jevy, kdy se při vzniku některých nerostů pegmatitu (zvl. hedenbergitu) uplatnila resorpce skarnového materiálu, která vedla zvuku zvýšení obsahu železa a vápníku v pegmatitu, popsal F. Slávik z *Dolní Lišné* na *Novoměstsku* (F. Slávik, 1951). Upozorňuje na podobnost pochodu i na resorpci magnetovce pegmatitem ve *Vlastějovicích*.

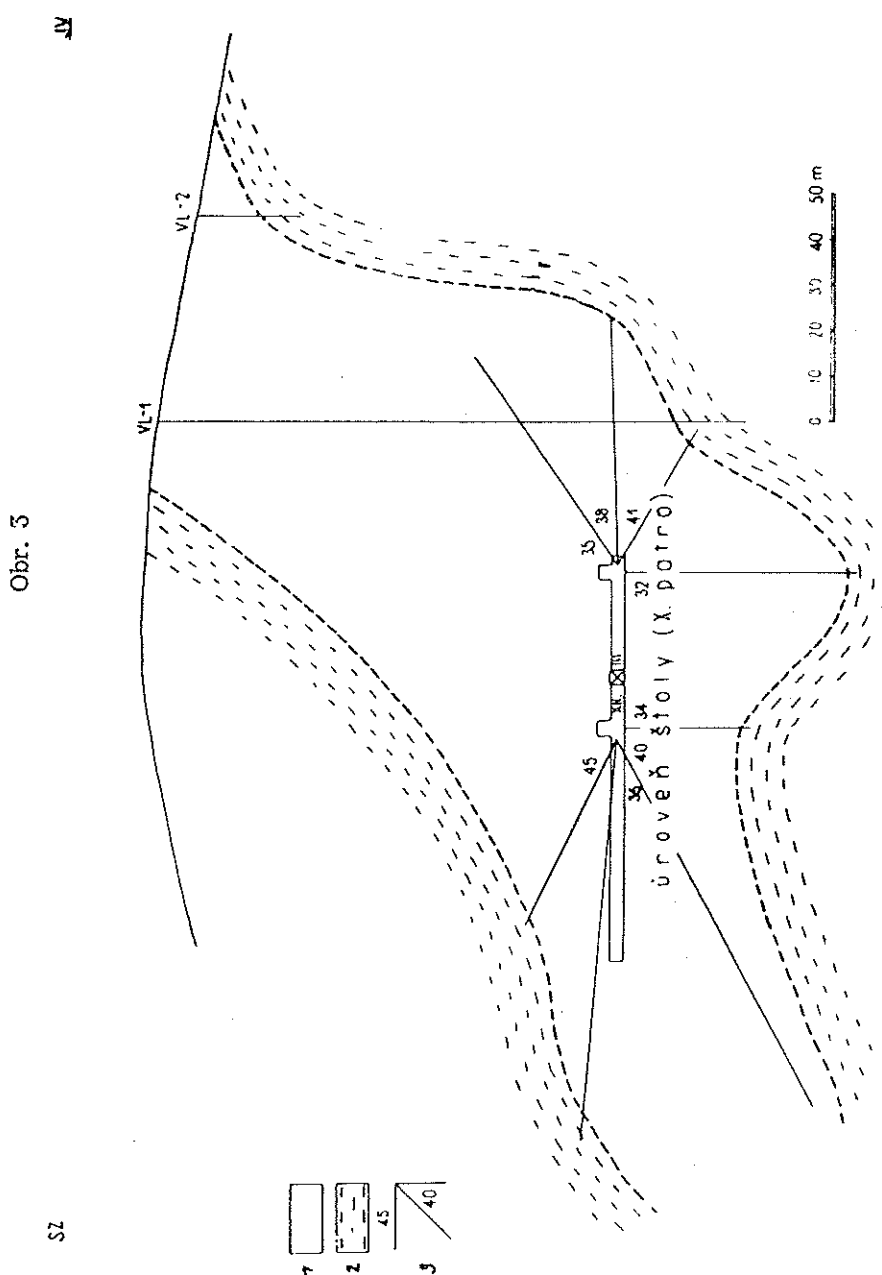
Pegmatity magdalenského ložiska jeví charakteristické jevy resorpce skarnového materiálu a lze rovněž tak pozorovat průnik některých prvků, přínosově spjatých s pegmatitem, do skarnu. Skarn v okolí pegmatitových žil je prokřemeněn, feldspatisován a impregnován fluoritem (přínos alkalií, fluoru a křemíku). Také ortit ve skarnu na *Holém vrchu* (J. Koutek, 1950), vděčí pravděpodobně za svůj vznik přínosu některých prvků pegmatitem (zvl. TR, Th).

Pokud jde o otázku genetické příslušnosti pegmatitů magdalenského ložiska, je vhodné si všimnouti vztahu pegmatitů ve skarnu k sousedním ortorulám a pegmatitům v rulovém terénu v okolí Vlastějovic. Autorem nebylo zjištěno na magdalenském ložisku pokračování pegmatitových žil do sousedních rul. Omezení skarnu je většinou tektonické, toliko v jediném případě bylo nalezeno vyklínění pegmatitu ze skarnu v ortorule (štolové patro, hlavní chodba, jz. kontakt magdalenského skarnového tělesa). Pegmatitové žily v podloží skarnových těles nebyly dosud zjištěny hornickými pracemi.

Pegmatity v rulovém terénu v okolí *Vlastějovic* obsahují zpravidla větší množství draselného živce, muskovit, turmalin, vzácně granát a apatit. Jsou ostře ohrazené, obvykle diskordantně protinají ruly. Příkladem těchto žil je mohutný pegmatit v pyroxenické rule mezi Vlastějovicemi a Březinou (J. Koutek, 1950). Pegmatitové čočky v rulách, které byly pozorovány v údolí Sázavy i v důlních pracích (hlavní křížovatka chodeb 380 m od ústí štoly) jsou ložní, neostře ohrazené a rychle vyklíňující. Jsou tvořeny draselnými živci, oligoklasem, v menší míře křemenem, muskovitem a turmalinem.

Za povšimnutí stojí ještě výskyt fluoritu na křemenných žilách v plášti melechovské žuly u Kožlí u Ledče nad Sázavou (K. Čehák, 1947), nedaleko od *Vlastějovic*.

Z výše uvedených pozorování lze usuzovat, že pegmatity ve skarnovém tělese pravděpodobně geneticky nesouvisí s masivem melechovské žuly.



Jednou z možností výkladu je jejich vznik v souvislosti s intrusí žuly, která nyní jako ortorula tvoří podloží ložiska.

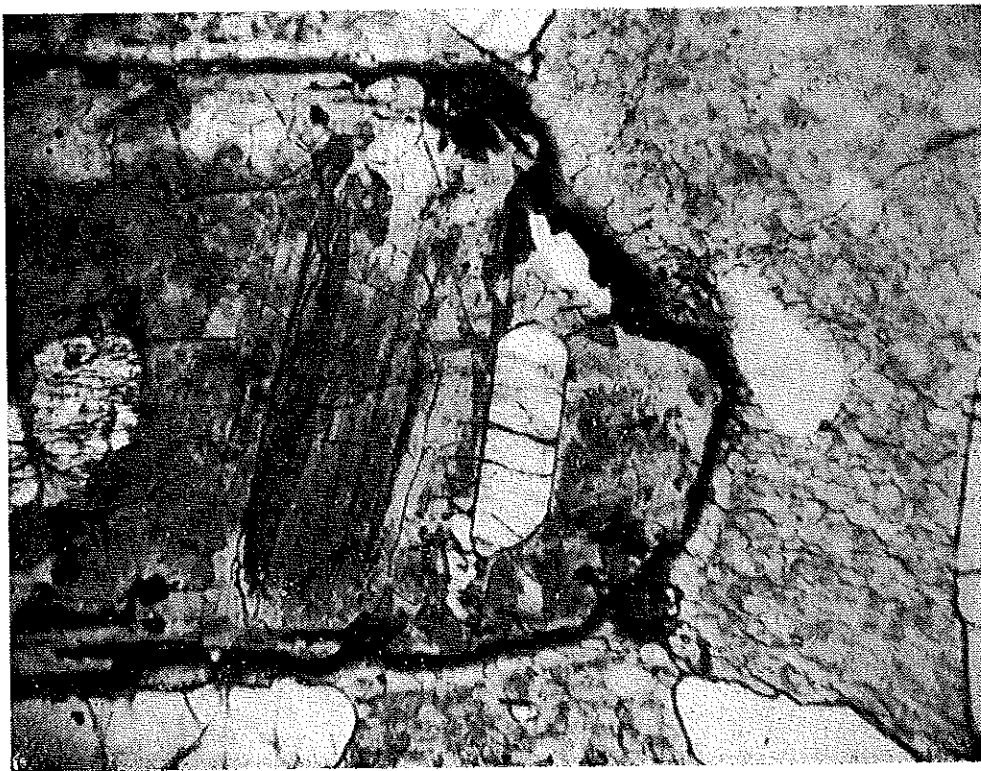
Neostře ohraničené čočkovité ložní pegmatity souvisí pravděpodobně s procesem migmatitisace pararul. Většinou diskordantní, ostře omezené pegmatitové žily v rulách lze vztahovati geneticky k melechovské žule.

Předložená práce je výtahem části mojí diplomové práce, kterou jsem vypracoval v letech 1958–1960 na katedře nerostných surovin a na katedře mineralogie, geochemie a krystalografie přírodovědecké fakulty Karlovy university.

Dovoluji si poděkovat všem, kdo mi byli nápomocni, zejména akade-



Obr. 1

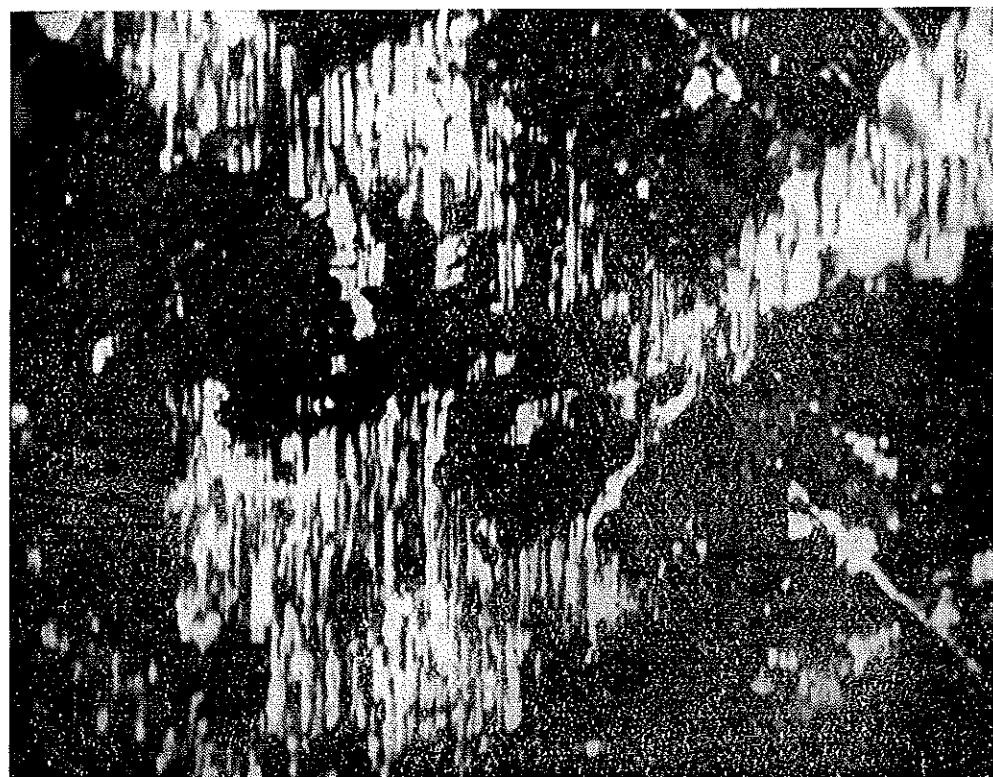


Obr. 2

Tab. II.



Obr. 3



Obr. 4

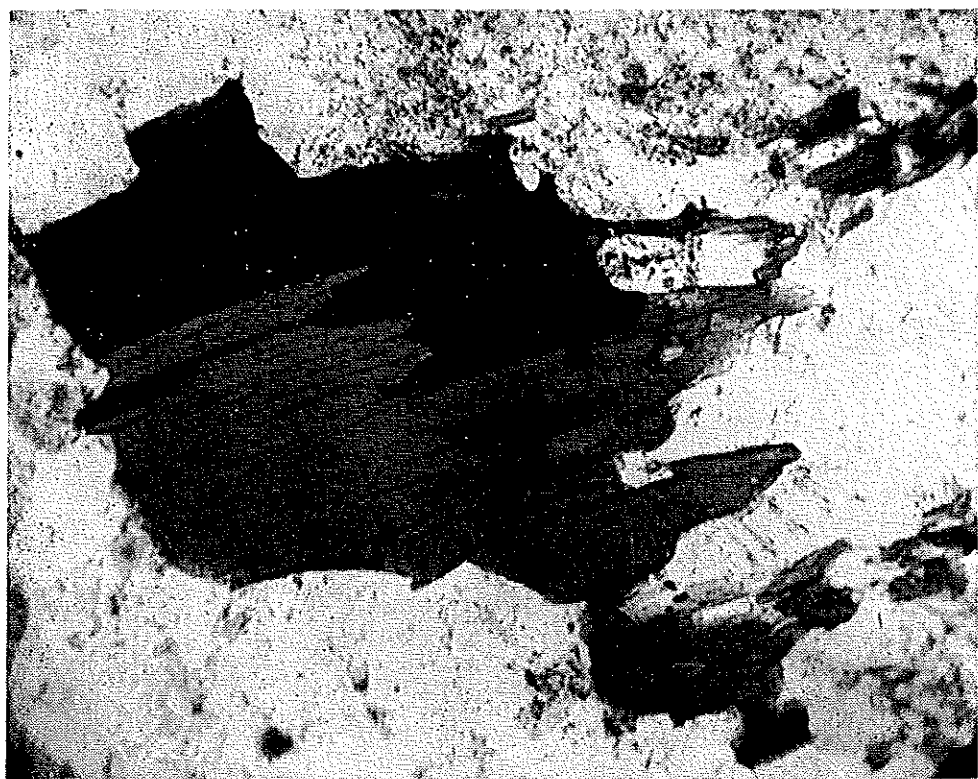


Obr. 5

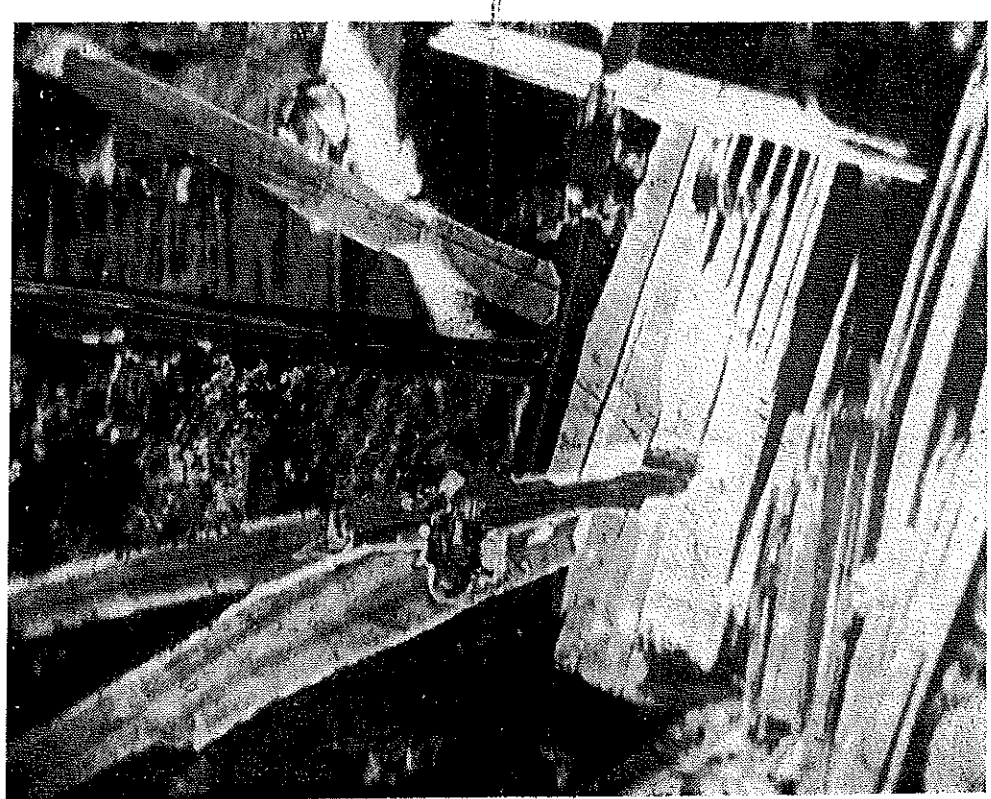


Obr. 6

Tab. IV.



Obr. 7



Obr. 8

miku prof. J. Kouckovi za všeestrannou pomoc a vedení v práci a doc. L. Žákoví za obětavé vedení v laboratorních pracích, za četné rady a připomínky při úpravě textu.

Katedra nerostných surovin a katedra mineralogie, geochemie a krys-talografie přírodovědecké fakulty K. U.

Резюме

Изучаемые пегматиты магдаленского месторождения магнитного железняка скарнового типа в селе «Властеёвице над Сазавой» (Средняя Чехия) характерны большим количеством флюорита, ортита и наличием минералов, которые возникли взаимной реакцией между младшим пегматитом и скарном и ресорбцией скарнового материала пегматитом. Реакционные каймы между пегматитом и скарном образованы главным образом амфиболом и биотитом. В зависимости от основных частей составных отличаются три типа пегматитов:

А. Плагиоклазовые пегматиты с колебающимся количеством калиевого шпата, кварца, флюорита и ортита.

Б. Пегматиты, содержащие кроме того метасоматический альбит — высший степень в развитии пегматита.

С. Пегматиты, которые содержат кроме минералов приведенных у типа А, еще кальцит, гранат, опидит и альбит.

Характерные минерали реакционных кайм, амфибол и в меньшей степени биотит — содержат в колебающимся количестве все три типа.

Минералы пегматитов были подробно исследованы. Это: плагиоклаз, калиевый шпат (ортоклаз, микроклин), кварц, флюорит, амфибол, биотит, пироксен, альбит, турмалин, титанит, ортит, апатит, гранат, рекристалический магнетит и опидит. Химический состав амфиболов был изучен количественными химическими анализами. Анализы амфибola из скарна и амфибola из пегматита приблизительно (в основном) сходятся, кроме высшего содержания Fe и Ca в амфибole из скарна (топоминеральное влияние скарна). У флюорита была наблюдаемая термолюминисценция и УВ-люминисценция к отличии гидротермального и пегматитового флюорита. У пегматитового флюорита термолюминисценция интенсивно сине-зеленая, УВ-люминисценция зелено-ватая, у гидротермального флюорита термолюминисценция фиолетовая и УВ-люминисценция сине-фиолетовая.

Химический состав минералов пегматитов был изучен качественными спектральными анализами. Интересным является наличие Be в следах в некоторых пегматитовых флюоритах и силикатах. Li было в меньшем качестве найдено в биотите и амфиболу, Sn в следах в одном флюорите, в магнитном железняку и в некоторых силикатах. Y и Yb было найдено в следах во флюоритах и титаниту.

Была составлена вероятная сукцессия минералов в пегматитах: титанит — олигоклаз — биотит — амфибол — калиевый шпат — альбит I — турмалин — кварц I — альбит II — пироксен — магнетит (рекристалический) — флюорит — апатит, ортит.

Изучаемые пегматитовые жилы пространственно вяжутся на скарн, затем не было установлено продолжение этих жил в соседних горных породах.

spar — albite I — tourmaline — quartz I — albite II — pyroxene — magnetite (recrystallized) — fluorite — apatite, orthite.

The space location of the pegmatite veins is linked to the skarn body; a continuation of these veins into the surrounding rocks has not, for the time being, been ascertained. In the paragneisses and orthogneisses appearing in the vicinity of the skarn bodies there have been found both pegmatites attached to the Central Moldanubian Pluton (Melechov granite) characterized by the presence of tourmaline, muscovite, garnet and apatite, with sharp boundaries, and unsharply bounded and rapidly wedging out pegmatite lenses conforming to the schistosity, containing muscovite and tourmaline. No orthite and fluorite have ever been found in both vein types. One possibility is to relate the skarn pegmatites to the intrusion of the granite, underlying now the skarn bodies as an orthogneiss.

LITERATURA

- Andrian F. (1863): Beiträge zur Geologie des Kourímer und Taborer Kreises in Böhmen. Jahrbuch der K. K. Geolog. R-A, 13, str. 155—182.
- Bouška V., Čech F., Jovan Z. (1960): Studium některých metamiktých orthitů z ČSR. Acta universitatis Carolinae, str. 3—22.
- Cehák K. (1947): Příspěvek ku geologii výskytu kazivce u Kožlí na Ledečsku. Věst. SGÚ, roč. 22, str. 340—352.
- Haberlandt H. (1917): Luminiszenz Untersuchungen an Fluoriten und anderen Mineralien III. Mitt. des Institutes für Radiumforschung, č. 391, str. 1—10, Wien.
- Katzer F. (1892): Geologie von Böhmen, str. 114—115, 126—127, Praha.
- Katzer F. (1904): Notizen zur Geologie von Böhmen IV. Die Magneteisen Erzlagerstätten von Maleschau u. Hammerstadt. Verh. der K. K. Geol. Reichsanstalt, str. 193—200.
- Kettner R. (1917): Z nejnovějších výzkumů o rudních nalezištích v Čechách. Hor. a hut. listy, roč. 18, č. 11, str. 129.
- Koutecký J. (1950): Ložisko magnetovce skarnového typu u Vlastějovic v Posázaví. RČA, LX, č. 27, str. 1—30.
- Koutecký J. (1952): Magnetovcové ložisko „U Černé rudy“ u Malešova j. od Kutné Hory. Věst. ÚUG, roč. XXVII, str. 172—173.
- Koutecký J. (1959): Hybridní horniny na magnetovcovém ložisku Fiolníku u Vlastějovic v Posázaví. Čas. Národn. musea, CXXVII, str. 1—4.
- Koutecký J., Žák L. (1953): Epigenetické antimonové rudy na magnetitovém ložisku skarnového typu ve Vlastějovicích v Posázaví. Sb. ÚUG, odd. geol. XX, str. 539—612.
- Lebeděv V. I. (1959): Mineralogičeskoje opisanie pegmatitovoj žily Krivoje ozero. K mineralogii postmagmatičeskich procesov, str. 73—118, Leningrad.
- Novotný M. (1949): O chemismu a fysikálních vlastnostech některých moravských amfibolů. Práce moravskoslezské akademie věd přír., sv. XXI 10, str. 1—24, Brno.
- Przibram K. (1953): Verfärbung und Luminiszenz. Beiträge zur Mineralphysik, Wien.
- Sellner F. (1926): Die Magnetitlagerstätten der tschechoslowakischen Republik. II. Hammerstadt. Zeitschrift für praktische Geologie, 34, str. 33—48.
- Sellner F. (1926): Die Magnetitlagerstätten der tschechoslowakischen Republik. I. Maleschau bei Kuttenberg. Zeitschrift für praktische Geologie, 34, str. 33—48.
- Slavík F. (1951): Skarn a jeho resorbce pegmatitem-aplitem u Dolní Lišné na Novoměstsku. Sborník ÚUG, sv. 18, str. 573—579.
- Strunz H. (1957): Mineralogische Tabellen, str. 295, Leipzig.
- Vavřín I. (1959): Předběžná zpráva o výskytu axinitu v Malešově u Kutné Hory. Časopis pro mineralogii a geologii, roč. IV, str. 220.
- Vinogradskaja G. M. (1959): Amfibol iz granitognějza gubernskogo masiva na j. Urale. Zap. vsesoj. min. obščestva, 88, str. 60—71.
- Vtělenský J. (1958): Prehnit, apatit, sfen a zirkon ze skarnu v Malešově u Kutné Hory (předb. zpráva). Čas. pro min. a geol., roč. III, str. 363.

MIKROSKOPICKÉ FOTOGRAFIE NEROSTŮ

- Obr. 1. Hypidiomorfí krystal ortitu zarostlý ve fluoritu s výrazným pleochroickým dvůrkem. Zvětšeno 90X.
- Obr. 2. Krystal ortitu (temně šedý) s výrazným pleochroickým dvůrkem uzavírá idiomorfí apatit (bílý). Zvětšeno 90X.
- Obr. 3. Krystaly ortitu (temně šedé) a apatitu (bílé), zarostlé ve fluoritu. Kolem ortitů jsou výrazné pleochroické dvůrky. Zvětšeno 90X.
- Obr. 4. Albit I. generace zatlačuje mikroklin (černý). Zvětšeno 52X, zkřížené nikoly.
- Obr. 5. Žilka pyritu v oligoklasu. Pyrit je místy idiomorfí omezen na úkor oligoklasu. Zvětšeno 90X.
- Obr. 6. Turmalín (černý) proniká žilkovitými útvary do oligoklasu. Zvětšeno 100X.
- Obr. 7. Amfibol (temně šedý) proniká po trhlinkách štěpnosti do biotitu (světle šedý). Oba nerosty jsou uzavřeny v oligoklasu (bílý). Zvětšeno 73X.
- Obr. 8. Idiomorfí dlouze lišťovitý albit II. generace zarostlý v mikroklinu (černý) a albitu I. generace (šedý, temně pruhovaný). Zvětšeno 100X, zkřížené nikoly.

Foto I. Vavřín

МИКРОСКОПИЧЕСКИЕ ФОТОГРАФИИ МИНЕРАЛОВ.

- Рис. 1. Гипидиоморфный кристалл ортита вросший в флюорит с выразительным плеохроичным двориком. Увеличено 90X.
- Рис. 2. Кристалл ортита (темно-серый) с выразительным плеохроичным двориком заключает в себе идиоморфный апатит (белый). Увеличено 90X.
- Рис. 3. Кристаллы ортита (темно-серый) и апатита (белый) заросшие в флюорите. Вокруг орбитов имеются выразительные плеохроичные дворики. Увеличено 90X.
- Рис. 4. Альбит 1. генерации замещает микроклин (черный). Увеличено 52X, скрещенные николи.
- Рис. 5. Жилка пирита в олигоклазе. Пирит местами идиоморфно ограничен за счет олигоклаза. Увеличено 90X.
- Рис. 6. Турмалин (черный) проникает жилкованными агрегатами в олигоклазе. Увеличено 100X.
- Рис. 7. Роговая обманка (темно-серый) проникает в биотит (серый) по его трещинах спайности. Оба минерала заключены в олигоклазе (белый). Увеличено 73X.
- Рис. 8. Идиоморфный, длинотольчатый альбит 2. генерации, вросший в микроклине (черный) и альбите 1. генерации (серый, темно-полосатый). Увеличено 100X, скрещенные николи.

Фото И. Вавржин

PHOTOMICROGRAPHS OF THE MINERALS

- Fig.1. Hypidiomorphic crystal of orthite forming an inclusion in fluorite, with well-marked pleochroic sphere. Magn. 90X.
- Fig. 2. Orthite crystal (dark grey) with a marked pleochroic sphere includes idiomorphic apatite (white). Magn. 90X.
- Fig. 3. Crystals of orthite (dark grey) and apatite (white) forming inclusions in fluorite. Around the orthites there are marked pleochroic spheres. Magn. 90X.
- Fig. 4. Albite of the 1st generation replaces microcline (black). Magn. 52X, nicols crossed.
- Fig. 5. Pyrite veinlet in oligoclase. Pyrite inplaces idiomorphically outlined to the detriment of oligoclase. Magn. 90X.
- Fig. 6. Tourmaline (black) penetrates in vein-like forms into oligoclase. Magn. 100X.
- Fig. 7. Amphibole (dark grey) penetrates along the cleavage cracks into biotite (light grey). Both minerals are included in oligoclase (white). Magn. 73X.
- Fig. 8. Idiomorphic, long lath-shaped albite of the IIInd generation forming inclusions in microcline (black) and in Ist generation of albite (grey, dark striped). Magn. 100X, nicols crossed.

Photographed by I. Vavřín

VYSVĚTLIVKY K OBRÁZKŮM V TEXTU

Obr. 1. Magdalenské ložisko — *Vlastějovice*. Pegmatitová žila — 10. patro (8 m JJZ bodu č. 117, pravý bok).

1 — skarn; 2 — pegmatit; 3 — biotit; 4 — fluorit.

Магдаленское месторождение — *Властёвице*. Пегматитовая жила — 10. этаж (8 м ЮЮЗ от точки № 117, правый бок).

1 — скарн, 2 — пегматит, 3 — биотит, 4 — флюорит.

Magdalena Deposit — *Vlastějovice*. Pegmatite Vein — 10th Level (8 m SSW from point 117, right side).

1 — skarn; 2 — pegmatite; 3 — biotite; 4 — fluorite.

Obr. 2. Magdalenské ložisko — *Vlastějovice*. Pegmatitové žilky (detail stropu 24. překopu 9 m od hlavní chodby).

1 — pegmatit; 2 — granáticko-pyroxenický skarn; 3 — granátický skarn; 4 — amfibol.

Магдаленское месторождение — *Властёвице*. Пегматитовые жилки (деталь кровли 24. квершлага 9 м от главного коридора).

1 — пегматит, 2 — гранат-пироксеновый скарн, 3 — гранатовый скарн, 4 — амфибол.

Magdalena Deposit — *Vlastějovice*. Pegmatite Veins (details of the ceiling of the 24th crosscut, 9 m from the main gallery).

1 — pegmatite; 2 — garnet-pyroxene skarn; 3 — garnet skarn; 4 — amphibole.

Obr. 3. Řez jižně od vrcholu *Fiolníku*.

Vysvětlivky: 1 — skarn; 2 — ortorula a hybridní rula; 3 — vrty.

Разрез южнее от вершины *Фиолник*.

Пояснительные замечания: 1 — скарн, 2 — ортогнейс и гибридный гнейс, 3 — скважины.

Section South from the Summit of *Fiolník*.

Legend: 1 — skarn; 2 — orthogneiss and hybrid gneiss; 3 — borings.